



รายงานการวิจัย

การผลิตตัวอ่อนแมวโดยวิธีโคลนนิ่ง

(Producing of cat embryos by using cloning technique)

คณะผู้วิจัย

หัวหน้าโครงการ

ดร.รังสรรค์ พาดพ่าย

สาขาวิชาเทคโนโลยีชีวภาพ

สำนักวิชาเทคโนโลยีการเกษตร

ได้รับทุนอุดหนุนการวิจัยจากมหาวิทยาลัยเทคโนโลยีสุรนารี ปีงบประมาณ พ.ศ.2544

ผลงานวิจัยเป็นความรับผิดชอบของหัวหน้าโครงการวิจัยแต่เพียงผู้เดียว

พฤษภาคม 2547

กิตติกรรมประกาศ (Acknowledgements)

การวิจัยครั้งนี้ได้รับทุนอุดหนุนการวิจัยจากมหาวิทยาลัยเทคโนโลยีสุรนารี คณะผู้วิจัย
ขอขอบคุณ โรงพยาบาลสัตว์อิทธิเวช และคลินิกสัตว์เลี้ยงที่อนุเคราะห์รังไข่แมวสำหรับการทดลอง
และคำแนะนำในการผ่าตัดเก็บรังไข่ สมาชิกห้องปฏิบัติการ โคลนนิ่งสัตว์ สาขาวิชา
เทคโนโลยีชีวภาพ สำนักวิชาเทคโนโลยีการเกษตร และผู้เกี่ยวข้องทุกท่านที่ช่วยให้งานวิจัยครั้งนี้
สำเร็จลุล่วงไปได้ด้วยดี

ผู้วิจัย

พฤษภาคม 2547

บทคัดย่อ

(Abstract)

เมื่อนำรังไข่ของแมวที่ฉีดด้วย eCG และกลุ่มควบคุมมาเก็บไข่สามารถเก็บได้ 20.1 ± 19.2 ใบ/ตัว และ 7.1 ± 8.3 ใบ/รังไข่ ไข่ที่เก็บจากรังไข่ของแมวที่ฉีดด้วย eCG และกลุ่มควบคุมเมื่อนำมาเลี้ยงในหลอดแก้วมีอัตราการสุก 62.7 ± 4.6 และ $37.6 \pm 10.7\%$ จากการนำไข่สุกมากระตุ้นด้วย 7%Et-OH + CHX-CD หรือ CHX-CD เพียงอย่างเดียว ได้ตัวอ่อนเจริญถึงระยะบลาสโตซิสต์ 12.9 และ 16.4% ตามลำดับ จากนั้นใช้เซลล์ไฟโบรบลาสจากไข่อูและเซลล์แกรนูโลซาเป็นเซลล์ต้นแบบในการโคลนนิ่งและทดสอบกระตุ้นการแบ่งตัวด้วยน้ำยา 2 ชนิด จากการทดลองพบว่า กระตุ้นด้วย 7%Et-OH + CHX-CD ได้ตัวอ่อนเจริญถึงระยะมอรูลาและบลาสโตซิสต์สูงกว่าที่กระตุ้นด้วย CHX-CD อย่างเดียวในเซลล์ต้นแบบทั้ง 2 ชนิด แต่ไม่มีความแตกต่างทางสถิติ จากการทดลองสามารถสรุปได้ว่าอัตราการสุกของไข่ที่เก็บจากรังไข่แมวที่ฉีดด้วย eCG สูงกว่าที่เก็บจากรังไข่กลุ่มควบคุม การเจริญเติบโตในหลอดแก้วถึงระยะมอรูลาและบลาสโตซิสต์จากการโคลนนิ่งด้วยเซลล์ไฟโบรบลาสจากไข่อูและเซลล์แกรนูโลซาในกลุ่มที่กระตุ้นด้วย 7%Et-OH + CHX-CD มีค่าสูงกว่ากลุ่มที่กระตุ้นด้วย CHX-CD อย่างเดียว

Abstract

The average number of cat oocytes collected from ovaries of eCG stimulated donor and control group was 20.1 ± 19.2 oocytes/queen and 7.1 ± 8.3 oocytes/ovary. The *in vitro* maturation rate of cat oocytes collected from ovaries of eCG stimulated donor and control group was 62.7 ± 4.6 and $37.6 \pm 10.7\%$. The parthenogenetic embryos developed to blastocyst stage of matured oocytes treated with 7%Et-OH + CHX-CD and CHX-CD was 12.9 and 16.4% respectively. The ear fibroblasts and granulosa cells were used as donor cells for cloning and testing with 2 activation treatments. It was found that the treatment with 7%Et-OH + CHX-CD gave higher morulae and blastocysts rate than those with CHX-CD alone in both donor cell types, but there were not significantly different. In conclusion, the maturation rate of oocytes from eCG treated was higher than control. The *in vitro* development to morula and blastocyst stage of reconstructed embryos with ear fibroblasts and granulosa cells treated with 7%Et-OH + CHX-CD was higher than CHX-CD alone.

สารบัญเรื่อง

	หน้า
กิตติกรรมประกาศ	I
บทคัดย่อภาษาไทย	II
บทคัดย่อภาษาอังกฤษ	III
สารบัญเรื่อง	IV
สารบัญรูปภาพ	V
สารบัญตาราง	VI
บทที่ 1 บทนำ	1
บทที่ 2 อุปกรณ์และวิธีการทดลอง	3
บทที่ 3 ผลการทดลอง	8
บทที่ 4 วิจัยและสรุป	16
เอกสารอ้างอิง	19
ประวัติผู้วิจัย	25

สารบัญรูปภาพ

	หน้า
รูปที่ 1. ไข่แมวมที่เลี้ยงให้สุกในหลอดแก้ว ตั้งเกตุได้จาก first polar body (ลูกศรชี้)	4
รูปที่ 2. การดูนิวเคลียสออกโดยการกดให้ first polar body และ ไซโทพลาสซึมทะลัก ออกมานอกไข่	5
รูปที่ 3. a) เซลล์ไฟโบรบลาสต์ที่เจริญออกมาจากชั้นหนังหุ้มแมว b) เซลล์ไฟโบรบลาสต์เจริญแบบ sub-confluence	6
รูปที่ 4. a) เซลล์แกรนูโลซาหลังจากดูคออกมาจากถุงไข่ b) เซลล์แกรนูโลซาหลังจากเลี้ยงในหลอดแก้วนาน 3-4 วัน	6
รูปที่ 5. การฉีดเซลล์ต้นแบบ (ลูกศรชี้) แบบเข้าไปใน Perivitelline space	7
รูปที่ 6. การเชื่อมเซลล์ต้นแบบ (ลูกศรชี้) เข้ากับไข่ด้วยกระแสไฟฟ้าที่จ่ายผ่าน Fusion electrode	8
รูปที่ 7. การจำแนกไข่แมวออกเป็น 3 กลุ่มตามลักษณะของเซลล์คิวมูลัสที่ล้อมรอบ เปลือกไข่	9
รูปที่ 8. ตัวอ่อน Parthenogenetic	11
รูปที่ 9. การเจริญของตัวอ่อนแมวมที่เลี้ยงในหลอดแก้วระยะต่างๆ	14
รูปที่ 10. แสดงกลไกการกระตุ้นให้มีการสร้าง mRNA โดยการกระตุ้นด้วยฮอร์โมน eCG	16

สารบัญตาราง

	หน้า
ตารางที่ 1. แสดงอัตราการสุกของไข่แมวของกลุ่มที่ถูกกระตุ้นด้วยฮอร์โมนเปรียบเทียบกับกลุ่มควบคุมหลังจากเลี้ยงในหลอดแก้วนาน 24 ชั่วโมง	10
ตารางที่ 2. การเจริญในหลอดแก้วของตัวอ่อน Parthenogenetic จากการกระตุ้นด้วย 7% เอทานอล + CHX-CD และ CHX-CD	11
ตารางที่ 3 การเจริญของตัวอ่อนแมวโคลนนิ่งโดยใช้เซลล์ไฟโบรบลาสต์จากใบหูและเซลล์แกรนูโลซาเป็นเซลล์ต้นแบบและกระตุ้นด้วย 7% เอทานอล + CHX-CD และ CHX-CD	13

บทที่ 1

บทนำ

(Introduction)

โคลนนิ่ง

การโคลนนิ่ง หรือ การย้ายฝากนิวเคลียส เริ่มทำการทดลองครั้งแรกในปี ค.ศ. 1952 โดย Briggs และ King โดยทำการทดลองในกบ (*Rana pipiens*) จากการทดลองพบว่านิวเคลียสจากเซลล์ตัวอ่อนสามารถย้ายฝากสู่ไข่ใบใหม่และสามารถเจริญเป็นตัวอ่อนกบได้ ในสัตว์เลี้ยงลูกด้วยนม เริ่มทดลองครั้งแรกในหนูถีบจักร โดย Illmensee and Hoppe (1981) โดยใช้เซลล์จาก Inner cell mass (ICM) และเซลล์ไฟโบรบลาสต์เป็นเซลล์ต้นแบบ การทำให้นิวเคลียสของเซลล์ต้นแบบเข้าสู่ไข่ สามารถทำได้หลายวิธี เช่น การใช้ Sendai virus หรือใช้กระแสไฟฟ้า (McGrath และ Solter, 1983) เป็นต้น แต่การใช้กระแสไฟฟ้าเป็นที่นิยมมากกว่า เพราะสามารถทำได้สะดวกและรวดเร็ว ได้ทำการทดลองใช้กระแสไฟฟ้าเชื่อมเซลล์ต้นแบบเข้ากับไซโตพลาสซึมผู้รับในสัตว์ชนิดอื่นๆ เช่นกัน เช่น แกะ (Willadsen และคณะ, 1986; Smith and Wilmut, 1989) โค (Prather และคณะ, 1987; Bondioli และคณะ, 1990) สุกร (Prather และคณะ, 1989) กระจ่าง (Stice and Robl, 1989) และลิง (Meng และคณะ, 1997) เป็นต้น

การโคลนนิ่งโดยใช้เซลล์ร่างกายเป็นเซลล์ต้นแบบ

ในช่วงแรกของการทำโคลนนิ่งนิยมใช้เซลล์จากตัวอ่อน (Embryonic cell) เป็นเซลล์ต้นแบบ แต่หลังจากการโคลนนิ่งโดยใช้เซลล์ร่างกายเป็นเซลล์ต้นแบบประสบความสำเร็จเป็นครั้งแรกในแกะ (Wilmut และคณะ, 1997) จึงได้มีการทำโคลนนิ่งโดยใช้เซลล์ร่างกายเป็นเซลล์ต้นแบบในสัตว์เลี้ยงลูกด้วยนมชนิดอื่นๆ อีกหลายชนิดในเวลาต่อมา เช่น โค (Cibelli และคณะ, 1998; Kato และคณะ, 1998), หนูถีบจักร (Wakayama และคณะ, 1998), แพะ (Baguisi และคณะ, 1999) และสุกร (Polejaeva และคณะ, 2000; Onishi และคณะ, 2000; Betthausser และคณะ, 2000) , ม้า (Galli และคณะ, 2003), กระจ่าง (Li และคณะ, 2002), หนูขาว (Zhou และคณะ, 2003) เป็นต้น

วิธีการทำโคลนนิ่ง

การโคลนนิ่งโดยใช้เซลล์ร่างกายเป็นเซลล์ต้นแบบสามารถทำได้โดยต้องมีสิ่งที่สำคัญคือ เซลล์ต้นแบบ และไซโตพลาสซึมผู้รับ โดยเซลล์ต้นแบบต้องนำมาจากส่วนใดส่วนหนึ่งของร่างกาย

สัตว์ที่เราต้องการโคลนนิ่งเช่น ไบฮู (Parnpai และคณะ, 2000) ผิวหนังน้ำห้อง (Lorthongpanich และคณะ, 2004) ก้ามเนื้อ (Li และคณะ, 2002) เซลล์ควมูลัส เซลล์เยื่อบุท่อไข่ เซลล์ผิวหนัง (Kato และคณะ, 2000) เป็นต้น ส่วนไซโคพลาสม์ผู้รับได้มาจากไข่ของสัตว์ชนิดเดียวกัน ที่ถูกนำมาเลี้ยงให้สุกในหลอดแก้ว แล้วดูคินเวเลียสของไข่ออกไปแล้วนำมาฉีดเซลล์ต้นแบบใส่เข้าไป จากนั้นเชื่อมเซลล์ต้นแบบเข้ากับไข่ ซึ่งทำได้โดยการใช้กระแสไฟฟ้า จากนั้นคัดเลือกเฉพาะใบที่เชื่อมกันสำเร็จไปกระตุ้นด้วยสารเคมีเพื่อให้เกิดการแบ่งตัว แล้วเลี้ยงตัวอ่อนในหลอดแก้วเพื่อให้เจริญเติบโตเป็นตัวอ่อนระยะต่างๆ ต่อไป

ความสำคัญและที่มาของปัญหาการวิจัย

การทำโคลนนิ่งโดยใช้เซลล์ร่างกายเป็นเซลล์ต้นแบบประสบความสำเร็จได้ถูกสัตว์เกิดมาหลายชนิด แต่ยังไม่มียางานการประสบความสำเร็จการทำโคลนนิ่งสัตว์เลี้ยงเช่น สุนัขและแมว จนกระทั่งปี ค.ศ. 2002 ได้มีการรายงานความสำเร็จในการทำโคลนนิ่งแมวเป็นครั้งแรกในโลกจากการใช้เซลล์ควมูลัสเป็นเซลล์ต้นแบบ โดย Shin และคณะ (2002) จากความสำเร็จในครั้งนี้แสดงให้เห็นว่าสามารถทำโคลนนิ่งแมวได้และลูกแมวโคลนนิ่งมีสุขภาพแข็งแรงสมบูรณ์

การทำโคลนนิ่งแมวในประเทศไทยเป็นสิ่งที่มีความสำคัญสำหรับการอนุรักษ์สัตว์หายากหรือสัตว์ใกล้สูญพันธุ์ เช่น แมวลายหินอ่อน หรือ เสือ เป็นต้น แต่อย่างไรก็ตามรายงานเกี่ยวกับการทำโคลนนิ่งแมวยังมีอยู่น้อยมากในปัจจุบัน เมื่อเทียบกับสัตว์ชนิดอื่น จึงทำให้มีข้อมูลพื้นฐานน้อย ดังนั้นการทดลองนี้จึงมุ่งเน้นที่จะทำการทดลองเพื่อหาข้อมูลพื้นฐานต่างๆ เกี่ยวกับการทำโคลนนิ่งแมวและการเลี้ยงตัวอ่อนแมวในหลอดแก้ว

วัตถุประสงค์

1. เพื่อเปรียบเทียบประสิทธิภาพการเจริญของตัวอ่อนแมวที่โคลนนิ่งโดยใช้เซลล์ต้นแบบต่างชนิดกัน คือ เซลล์ไฟโบรบลาสต์จากไบฮูและเซลล์แกรนูโลซา
2. เปรียบเทียบอัตราการเจริญของตัวอ่อนแมว โคลนนิ่งที่ใช้ไซโคพลาสม์ผู้รับที่เลี้ยงในน้ำยาเลี้ยงไข่ให้สุกในหลอดแก้วนาน 24 และ 28 ชั่วโมง
3. เพื่อเปรียบเทียบอัตราการเจริญของตัวอ่อนแมวที่ถูกกระตุ้นด้วยวิธีการแตกต่างกัน 2 วิธี

บทที่ 2

อุปกรณ์และวิธีการทดลอง

(Materials and Methods)

2.1. สัตว์ทดลอง

เลี้ยงแมวโตเต็มวัยอายุ 9 เดือน – 3 ปี เพศเมียในห้องที่ควบคุมอุณหภูมิ $24 \pm 2^{\circ}\text{C}$ และควบคุมแสงโดยจัดให้มีแสงสว่างวันละ 12 ชั่วโมงเพื่อช่วยควบคุมวงจรการเป็นสัด อาหารและน้ำให้แบบ *ad libitum*

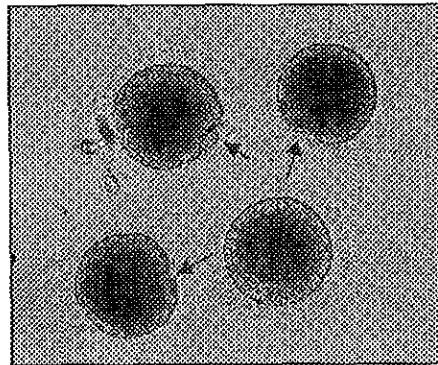
2.2. แหล่งที่มาของไข่

2.2.1. จากคลินิกสัตวแพทย์ (กลุ่มควบคุม): เก็บรังไข่ของแมวเพศเมียที่ทำการผ่าตัดทำหมันที่คลินิกสัตวแพทย์โดยวางยาสลบแมวด้วย 0.002 mg/kg Atrophine และ 0.5 mg/kg Xylazine จากนั้นอีก 5-10 นาทีตามด้วย 20 mg/kg Ketamine hydrochloride หลังจากแมวสลบจึงทำการผ่าตัดเปิดหน้าท้อง แล้วตัดมดลูกเพื่อทำหมัน จากนั้นตัดรังไข่ออกจากตัวมดลูกแล้วแช่รังไข่ในน้ำเกลือ (0.9% NaCl) ภายใต้อุณหภูมิห้องขณะนำเข้าห้องทดลอง จากนั้นใช้ใบมีดโกนกรีดรังไข่แต่ละข้างเป็นชิ้นบางๆ ในน้ำยา Modified Dulbecco Phosphate Buffer Saline (mDPBS) + 0.1% Polyvinylpyrrolidone (PVP) (Sigma, P-0930) แล้วทำการหาไข่ที่มีเซลล์คลุมล้อมรอบ (Cumulus oocyte complexes, COCs) ภายใต้อุปกรณ์จุลทรรศน์

2.2.2. จากการกระตุ้นด้วยฮอร์โมน (Superstimulation) : แมวจะถูกฉีดฮอร์โมนเพื่อกระตุ้นให้ไข่เจริญมากขึ้นด้วย Equine Chorionic Gonadotropin (eCG, Folligon[®], Intervet, Netherlands) จำนวน 200 iu โดยแบ่งเป็น 100 iu ในวันแรก (วันที่ 0) และ 50 iu ในวันที่ 2 และ 3 หลังจากฉีด eCG ครั้งแรกนาน 168 ชั่วโมงจึงทำการผ่าตัดแมวเพื่อดูเก็บไข่จากรังไข่ โดยวางยาสลบแมวด้วย 0.002 mg/kg Atrophine และ 0.5 mg/kg Xylazine จากนั้นอีก 5-10 นาทีตามด้วย 20 mg/kg Ketamine hydrochloride หลังจากแมวสลบจึงทำการผ่าตัดเปิดหน้าท้อง เมื่อพบรังไข่จะทำการดูไข่ออก โดยใช้กระบอกฉีดขนาด 1 ml เชื่อมต่อกับเข็มขนาด 26G ฉีดเข้าที่รังไข่แล้วทำการดูไข่ออกจากถุงไข่ จากนั้นนำส่วนที่ดูได้มาละลายในน้ำยา mDPBS + 0.1% PVP แล้วหาไข่ ที่มี COCs ภายใต้อุปกรณ์จุลทรรศน์

2.3. การเลี้ยงไข่ให้สุกในหลอดแก้ว (*In vitro* Maturation)

ไข่ที่ทำได้ทั้งหมดจะถูกนำมารวมกันและคัดแยกเกรดภายใต้กล้องจุลทรรศน์โดยเทคนิคของ Johnston และคณะ (1989) ซึ่งจัดเป็น Grade 1: Excellent: เป็นไข่ที่มีเซลล์คิวมูลัสล้อมรอบทั่วทั้งไข่อย่างน้อย 2 ชั้น สีของไข่โตพลาสซึมเป็นสีดำเรียบเสมอกัน Grade 2: Good/Fair เป็นไข่ที่มีเซลล์คิวมูลัสล้อมรอบไข่บ้างแต่ไม่ทั้งหมด สีของไข่โตพลาสซึมเป็นสีดำเรียบเสมอกัน Grade 3: Degenerated เป็นไข่ที่ไม่มีเซลล์คิวมูลัสล้อมรอบ สีของไข่โตพลาสซึมซีดจาง ลักษณะไข่บิดเบี้ยว ไม่กลม คัดเลือกเฉพาะไข่เกรด 1 และ เกรด 2 มาทำการทดลองโดยเลี้ยงไข่ในน้ำยาสำหรับเลี้ยงไข่ให้สุกในหลอดแก้วในอัตราส่วนไข่ 10 ใบ/น้ำยา 50 μ l ในจานเลี้ยงเซลล์ 35 mm (Nunc) คลุมหยดน้ำยาด้วย mineral oil (Sigma, M-8410) เลี้ยงภายใต้ 5% CO₂, 5% O₂, 90% N₂ ที่มีอุณหภูมิ 38° C เป็นเวลา 24 ชั่วโมง หรือ 28 ชั่วโมง น้ำยาสำหรับเลี้ยงไข่ให้สุกในหลอดแก้วประกอบด้วยน้ำยา TCM199 ที่เติมด้วย 0.36mM Na Pyruvate, 2.2mM Ca Lactate, 2.0mM L-Glutamine, 1.13mM Cystein, 0.3% Bovine Serum Albumin (BSA, fatty acid free), 0.5 iu./ml eCG, 1 iu./ml Human Chorionic Gonadotropin (HCG, Chlorulon[®], Intervet, Netherlands)



รูปที่ 1. ไข่แม่วที่เลี้ยงให้สุกในหลอดแก้ว สังเกตได้จาก first polar body (ลูกศรชี้)

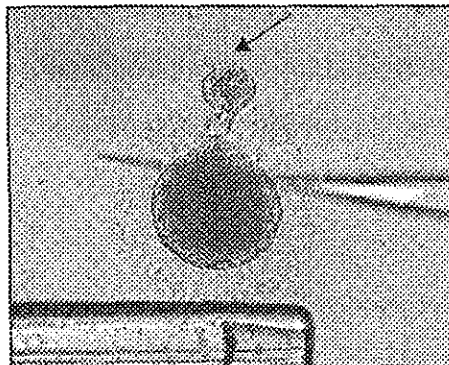
2.4. การทำ Parthenogenetic activation

เมื่อเลี้ยงไข่ในน้ำยาสำหรับเลี้ยงไข่ให้สุกในหลอดแก้วนาน 24 ชั่วโมง จะนำไข่มาย่อยเซลล์คิวมูลัสออกด้วย 0.2% Hyarulonidase เพื่อคัดเลือกไข่สุกซึ่งอยู่ในระยะเมตาเฟส ทุ (Metaphase II; MII) ซึ่งสังเกตจากการมี first polar body อยู่ภายในไข่ (รูปที่ 1) จากนั้นแยกไข่สุกออกเป็นสองกลุ่มเพื่อทำการเปรียบเทียบผลของสารกระตุ้นสองกลุ่มต่อการเจริญของไข่ โดยกระตุ้นไข่กลุ่มแรกด้วย 7% เอทานอล นาน 5 นาที แล้วเลี้ยงต่อในน้ำยา TCM199 + 0.3% BSA ที่เติมด้วย 10 μ g/ml Cycloheximide (CHX) และ 1.25 μ g/ml Cytochalasin D (CD) ภายใต้ 5% CO₂, 5% O₂, 90% N₂

ที่อุณหภูมิ 38°C นาน 5 ชั่วโมง ส่วนกลุ่มที่สองถูกกระตุ้นโดยการเลี้ยงในน้ำยา TCM199 + 0.3% BSA ที่เติมด้วย CHX และ CD นาน 5 ชั่วโมง (ไม่มีเอทานอล) ภายใต้สภาวะแวดล้อมเหมือนกับกลุ่มแรก หลังจากนั้นไข่ทั้งสองกลุ่มถูกนำมาเลี้ยงต่อในน้ำยา Tyrode's medium I + 0.3% BSA ที่คลุมด้วย mineral oil ในอัตราส่วนไข่ 10 ใบ/น้ำยา 50 μl แล้วเข้าเลี้ยงภายใต้ $5\% \text{CO}_2$, $5\% \text{O}_2$, $90\% \text{N}_2$ ที่อุณหภูมิ 38°C นาน 48 ชั่วโมง ทำการตรวจสอบอัตราการเจริญของไข่ทั้งสองกลุ่มตัวอ่อนระยะ 8 เซลล์ แล้วนำเฉพาะตัวอ่อนระยะ 8 เซลล์มาเข้าเลี้ยงต่อในน้ำยา Tyrode's medium II + 10% Fetal Bovine Serum (FBS) ภายใต้ $5\% \text{CO}_2$, $5\% \text{O}_2$, $90\% \text{N}_2$ ที่อุณหภูมิ 38°C นาน 5 วัน ในระหว่างการเลี้ยงจะทำการเปลี่ยนน้ำยาเก่าออกครึ่งหนึ่งแล้วแทนที่ด้วยน้ำยาใหม่ทุกวันและบันทึกการเจริญเติบโตของตัวอ่อนทุกวัน

2.5. การเตรียมไซโตพลาสซึมผู้รับ

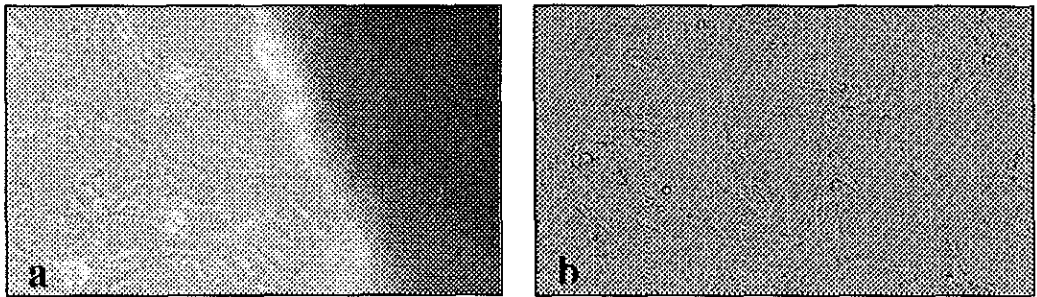
หลังจากเลี้ยงไข่ในน้ำยาสำหรับเลี้ยงไข่ให้สุกในหลอดแก้วนาน 24 ชั่วโมง จะนำไข่มาย่อยเซลล์คิวมูล์สออกด้วย $0.2\% \text{Hyaluronidase}$ แล้วคัดเลือกไข่สุกมาทำการดูดนิวเคลียสออกโดยใช้ Micromanipulator ภายใต้กล้องจุลทรรศน์ โดยแช่ไข่ในน้ำยา TCM199 HEPES + $0.3\% \text{BSA}$ ที่มี $5 \mu\text{g/ml}$ Cytochalasin B (CB) แล้วทำการตัดเปลือกไข่ (Zona pelucida) บริเวณด้านบนของ first polar body ให้ขาดออก จากนั้นกดไซโตพลาสซึมเพื่อให้ first polar body และประมาณ 10% ของไซโตพลาสซึมภายใต้ first polar body ทะลักออกมาด้านนอกไข่ (รูปที่ 2) จากนั้นนำส่วนที่ทะลักออกมาล้อมด้วยสี Hoechst 33342 แล้วส่องดูภายใต้กล้อง UV เพื่อตรวจสอบความสำเร็จของการดูดนิวเคลียส ถ้าส่วนที่ดูดออกมาได้มีจุดเรืองแสง 2 จุดอยู่ภายในหมายถึงไข่ที่ถูกดูดออกมาสามารถนำไปใช้ในการโคลนนิ่งได้ แต่ถ้าเห็นเพียงจุดเดียวจะไม่นำไข่ใบนั้นมาใช้



รูปที่ 2. การดูดนิวเคลียสออกโดยการกดให้ first polar body และ ไซโตพลาสซึมทะลักออกมาจากไข่

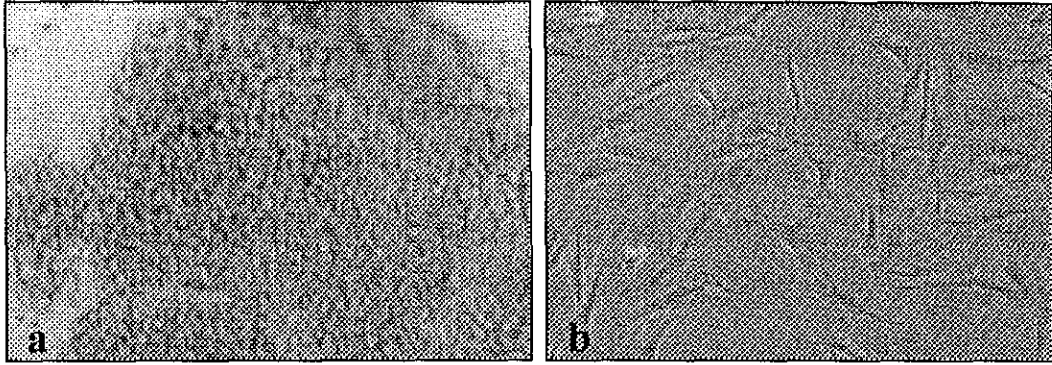
2.6. การเตรียมเซลล์ต้นแบบ

เซลล์ไฟโบรบลาสต์จากไขกระดูก: ตัดชิ้นไขกระดูกขนาดประมาณ 0.5 ซม. x 0.5 ซม. แล้วแช่ในน้ำยา mDPBS แล้วนำเข้าห้องปฏิบัติการ จากนั้นทำการแยกชิ้นหนึ่งออกจากชิ้นกระดูกอ่อนทำความสะอาดด้วย 75% เอทานอล แล้วตัดชิ้นหนึ่งเป็นชิ้นเล็กๆ ขนาดประมาณ 1 x 1 มม. นำชิ้นหนึ่งเหล่านั้นเรียงใส่จานเลี้ยงเซลล์ ขนาด 60 มม. (Nunc) แล้ววางทับชิ้นหนึ่งด้วยกระจกสไลด์ จากนั้นเติมน้ำยาเลี้ยงเซลล์ alpha-Modified Minimum Essential Medium eagle (α -MEM) + 10% FBS จำนวน 5 ml แล้วนำเข้าเลี้ยงในตู้บที่อุณหภูมิ 37°C ภายใต้บรรยากาศ 5% CO₂ in air เป็นเวลา 8-10 วัน (รูปที่ 3) แล้วทำการเลี้ยงเพิ่มจำนวนเซลล์และเก็บแช่แข็งไว้ใช้



รูปที่ 3. a) เซลล์ไฟโบรบลาสต์ที่เจริญออกมาจากชิ้นหนึ่งไขกระดูก
b) เซลล์ไฟโบรบลาสต์เจริญแบบ sub-confluence

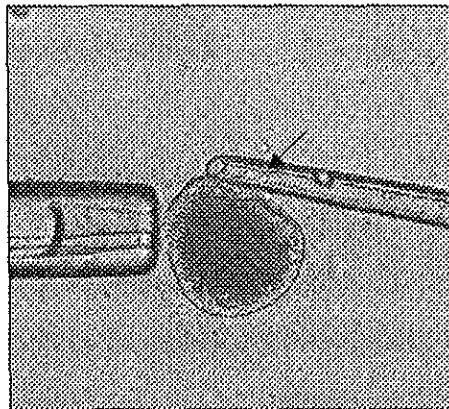
เซลล์แกรนูโลไซตา: เซลล์แกรนูโลไซตาเป็นเซลล์ที่อยู่ในไขกระดูก ดังนั้นจึงสามารถเก็บได้ในระหว่างการดูดไขออกจากไขกระดูก เมื่อได้เซลล์แล้วนำมาล้างในน้ำยา mDPBS + 0.1% PVP จำนวน 3 ครั้ง แล้วย่อยเซลล์ด้วย trypsin/EDTA นาน 3 นาที ในระหว่าง 3 นาทีนี้ใช้ปิเปตดูดเซลล์ขึ้น-ลง เพื่อให้เซลล์แยกออกจากกัน จากนั้นนำเซลล์ไปปั่นให้ตกตะกอนที่ 3,000 รอบ นาน 5 นาที จากนั้นทำละลายเซลล์ที่ได้โดยการเติม α -MEM + 10% FBS แล้วเลี้ยงเพิ่มจำนวนในตู้บที่อุณหภูมิ 37°C ภายใต้บรรยากาศ 5% CO₂ in air เป็นเวลา 8-10 วัน (รูปที่ 4) แล้วทำการเลี้ยงเพิ่มจำนวนเซลล์และเก็บแช่แข็งไว้ใช้



รูปที่ 4. a) เซลล์แกรนูโลซาหลังจากคูดออกมาจากถุงไข่
b) เซลล์แกรนูโลซาหลังจากเลี้ยงในหลอดแก้วนาน 3-4 วัน

2.7. การฉีดเซลล์ต้นแบบเข้าไปในไข่ที่คูดนิวเคลียสออกแล้ว

เมื่อต้องการใช้เซลล์ที่แข็งแรง จะต้องละลายออกมาเลี้ยงในน้ำยา α -MEM + 10% FBS ล่วงหน้าประมาณ 2 วันก่อนทำการทดลอง จากนั้นนำเซลล์ที่เลี้ยงไว้มาย่อยด้วย trypsin/EDTA เพื่อให้เป็นเซลล์เดี่ยวแล้วเลือกเซลล์ที่มีขนาด 14-16 μm ฉีดเข้าสู่ชั้น Perivitelline space (รูปที่ 5)

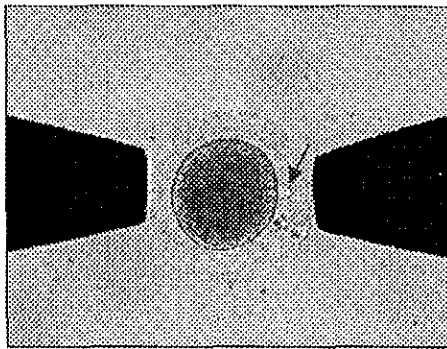


รูปที่ 5. การฉีดเซลล์ต้นแบบ (ลูกศรชี้) แบบเข้าไปใน Perivitelline space

2.8. การเชื่อมเซลล์ต้นแบบเข้ากับไข่

นำไข่ที่ฉีดเซลล์ต้นแบบแล้วเข้าสู่ยาสำหรับเชื่อมเซลล์ (0.3M Mannitol + 0.1 mM $\text{MgCl}_2 \cdot 6\text{H}_2\text{O}$) จัดตำแหน่งไข่และเซลล์ต้นแบบให้เหมาะสมแล้วทำการจ่ายกระแสไฟฟ้าด้วยความแรงไฟฟ้า 30 V นาน 30 μsec ผ่าน Fusion electrode (รูปที่ 6) ที่เชื่อมต่อกับเครื่องจ่ายกระแสไฟฟ้า Voltrain EP-1 (Cryologic)

หลังจากทำการเชื่อมเซลล์แล้ว 90 นาที จึงทำการตรวจสอบอัตราการเชื่อมติดของไข่กับเซลล์ต้นแบบ ไข่ที่เชื่อมติดกับเซลล์ต้นแบบอย่างสมบูรณ์ที่ได้จากการใช้เซลล์ไฟโบรบลาสจากไข่หู และเซลล์แกรนูโลซาเป็นเซลล์ต้นแบบจะถูกแบ่งออกเป็น 2 กลุ่ม ไข่กลุ่มแรกถูกกระตุ้นด้วย 7% เอทานอล นาน 5 นาที จากนั้นนำเข้าเลี้ยงในน้ำยา TCM199 + 0.3% BSA ที่เติมด้วย 10 $\mu\text{g/ml}$ CHX และ 1.25 $\mu\text{g/ml}$ CD แล้วนำเข้าเลี้ยงภายใต้บรรยากาศ 5% CO_2 , 5% O_2 , 90% N_2 ที่อุณหภูมิ 38°C นาน 5 ชั่วโมง ไข่กลุ่มที่สองถูกกระตุ้นโดยการนำเข้าเลี้ยงในน้ำยา TCM199 + 0.3% BSA ที่เติมด้วย 10 $\mu\text{g/ml}$ CHX และ 1.25 $\mu\text{g/ml}$ CD (ไม่มีเอทานอล) แล้วเลี้ยงภายใต้สภาวะแวดล้อมเดียวกับกลุ่มแรกนาน 5 ชั่วโมง



รูปที่ 6. การเชื่อมเซลล์ต้นแบบ (ลูกศรชี้) เข้ากับไข่ด้วยกระแสไฟฟ้าที่จ่ายผ่าน

Fusion electrode

2.9. การเลี้ยงตัวอ่อนในหลอดแก้ว

หลังจากกระตุ้นไข่ทั้งสองกลุ่มครบ 5 ชั่วโมง จะนำไข่เข้าเลี้ยงในน้ำยา Tyrode's medium I + 0.3% BSA ในอัตราส่วนไข่ 10 ใบ/น้ำยา 50 μl ภายใต้บรรยากาศ 5% CO_2 , 5% O_2 , 90% N_2 ที่อุณหภูมิ 38°C นาน 48 ชั่วโมงแล้วทำการตรวจสอบอัตราการเจริญสู่ตัวอ่อนระยะ 8 เซลล์ ของไข่ทั้งสองกลุ่มแล้วนำเฉพาะตัวอ่อนระยะ 8 เซลล์มาเข้าเลี้ยงต่อในน้ำยา Tyrode's medium II + 10% FBS ภายใต้ 5% CO_2 , 5% O_2 , 90% N_2 ที่อุณหภูมิ 38°C นาน 5 วัน ในระหว่างการเลี้ยงตัวอ่อนในหลอดแก้วจะทำการเปลี่ยนน้ำยาเลี้ยงตัวอ่อนออกครึ่งหนึ่งทุกๆ 2 วันและทำการบันทึกผลการเจริญของตัวอ่อนทุกวัน

2.10. การวิเคราะห์ค่าทางสถิติ

ในการทดลองนี้ได้ทำการทดสอบค่าทางสถิติโดยใช้โปรแกรม Statistical Analysis System (SAS)

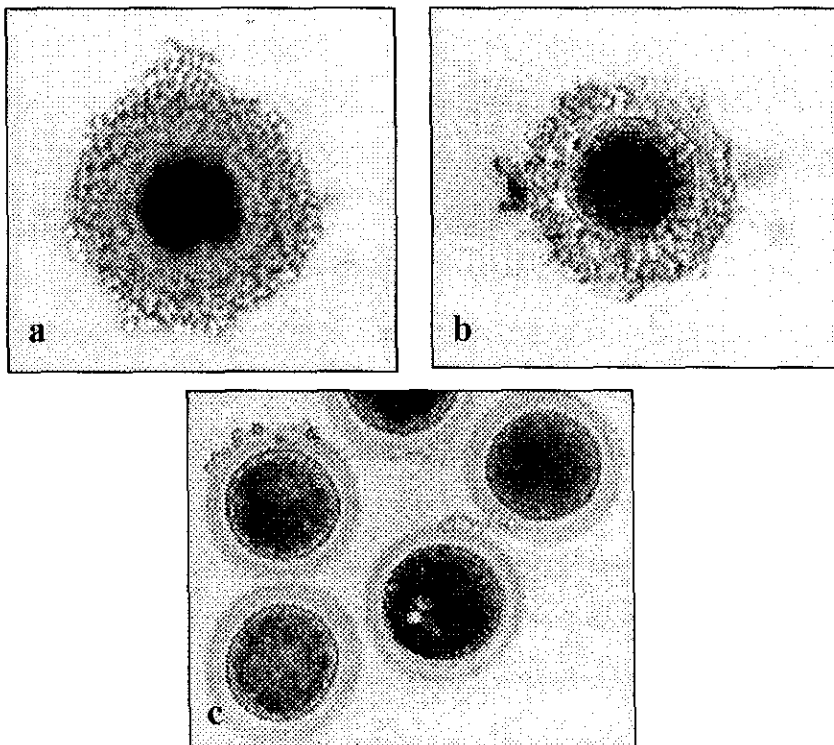
บทที่ 3

ผลการทดลอง

(Results)

3.1. ปริมาณไข่ที่ได้จากแหล่งต่างๆ

จากการทดลองพบว่ารังไข่ของแมวจากกลุ่มที่กระตุ้นด้วยฮอร์โมน eCG เป็นเวลา 7 วัน มีขนาดใหญ่กว่ากลุ่มที่ไม่ได้กระตุ้นฮอร์โมน (กลุ่มควบคุม) หลังจากเจาะดูไข่จากรังไข่แมวที่ถูกกระตุ้นฮอร์โมนจำนวน 37 ตัว ได้ไข่ทั้งหมด 744 ใบ (เฉลี่ย 20.1 ± 19.2 ใบ/ตัว) ในจำนวนนี้พบว่า 659 ใบ (88.5 %) เป็นไข่เกรด 1 และเกรด 2 และ 85 ใบ (11.4 %) เป็นไข่เกรด 3 (รูปที่ 7) สำหรับไข่จากกลุ่มควบคุมได้มาจากรังไข่แมวที่ไม่ได้กระตุ้นฮอร์โมนจำนวน 60 รังไข่ ได้ไข่ 425 ใบ (เฉลี่ย 7.1 ± 8.3 ใบ/รังไข่) จากจำนวนนี้พบว่าไข่ 274 ใบ (64.5 %) เป็นไข่เกรด 1 และ เกรด 2 และ 151 ใบ (35.5%) เป็นไข่เกรด 3



รูปที่ 7. การจำแนกรังไข่แมวออกเป็น 3 กลุ่มตามลักษณะของเซลล์คิวมูลัสที่ล้อมรอบเปลือกไข่

a) เกรด 1: Excellent b) เกรด 2: Good/Fair c) เกรด 3: Degenerated

3.2. ผลการเลี้ยงไข่ให้สุกในหลอดแก้ว

ไข่เกรด 1 และเกรด 2 จากทั้งกลุ่มที่ถูกกระตุ้นฮอร์โมนและกลุ่มควบคุมถูกนำมาเลี้ยงในน้ำยาสำหรับเลี้ยงไข่ให้สุกในหลอดแก้วนาน 24 ชั่วโมง พบว่าอัตราการสุกของไข่จากกลุ่มที่กระตุ้นด้วยฮอร์โมนมีมากกว่ากลุ่มควบคุมอย่างมีนัยสำคัญ ($64.3 \pm 4.6\%$ และ $37.6 \pm 10.7\%$) ดังแสดงในตารางที่ 1

ตารางที่ 1. แสดงอัตราการสุกของไข่แมวของกลุ่มที่ถูกกระตุ้นด้วยฮอร์โมนเปรียบเทียบกับกลุ่มควบคุมหลังจากเลี้ยงในหลอดแก้วนาน 24 ชั่วโมง

กลุ่ม	จำนวนไข่ที่เข้าเลี้ยง	จำนวน (%) ไข่สุก
กระตุ้นด้วยฮอร์โมน eCG	659	424 (64.3 ± 4.6) ^a
ควบคุม	274	103 (37.6 ± 10.7) ^b

^{a, b} แสดงความแตกต่างอย่างมีนัยสำคัญที่ $p < 0.01$, Anova test

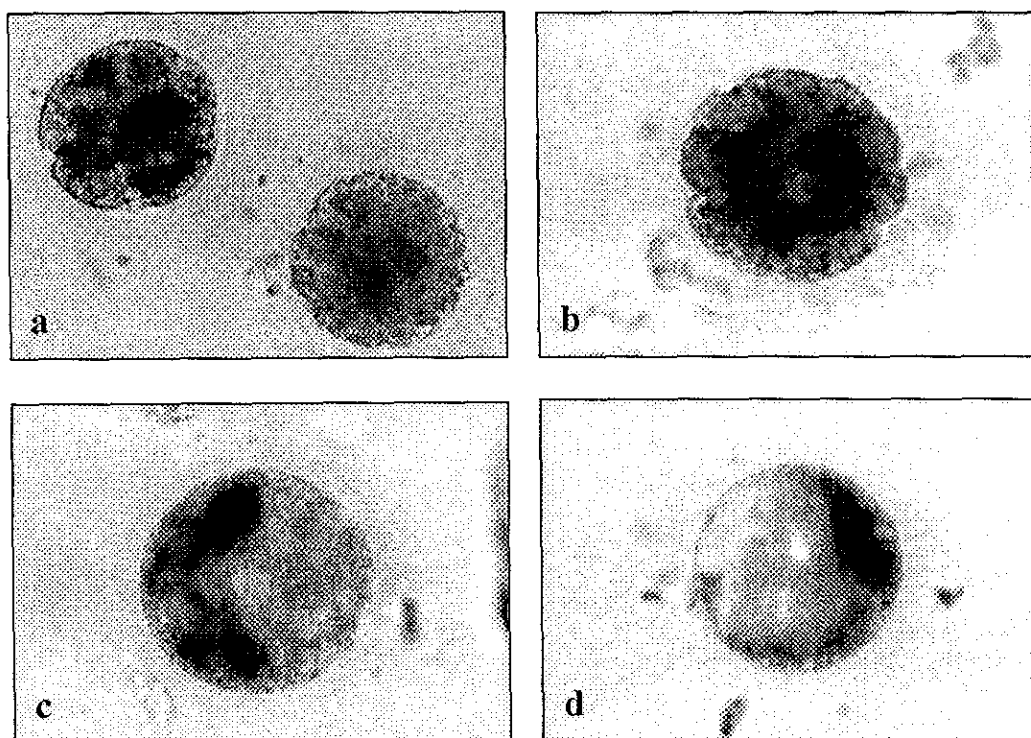
3.3. ผลของการทำ Parthenogenetic activation

จากการเลี้ยงตัวอ่อน Parthenogenetic ในหลอดแก้วนาน 7 วัน พบว่าตัวอ่อนกลุ่มที่กระตุ้นด้วย 7% เอทานอล + CHX-CD มีการเจริญเทียบกับกลุ่มที่กระตุ้นด้วย CHX-CD เป็นดังนี้ อัตราการแบ่งตัว (90.3 ต่อ 85.0%) การเจริญสู่ระยะ 8-เซลล์ (72.6 ต่อ 46.3%) และการเจริญสู่ระยะมอรูลา (59.7 ต่อ 43.3%) (ตารางที่ 2) แต่อัตราการเจริญสู่ระยะบลาสโตซิสต์ของกลุ่มที่กระตุ้นด้วย CHX-CD เพียงอย่างเดียวกลับสูงกว่ากลุ่มที่กระตุ้นด้วย 7% เอทานอล + CHX-CD (16.4% ต่อ 12.9%) แต่อย่างไรก็ตามพบว่าไม่มีความแตกต่างทางสถิติ

จากการเลี้ยงตัวอ่อน parthenogenetic ในหลอดแก้วพบว่าอัตราการเจริญของตัวอ่อนเป็นดังนี้ ที่ 48 ชั่วโมงหลังเลี้ยงในหลอดแก้วพบตัวอ่อนระยะ 8-16 เซลล์ ที่ 96 ชั่วโมงพบตัวอ่อนระยะ 16 เซลล์ถึงระยะมอรูลา ที่ 120 ชั่วโมงพบระยะคอมแพคมอรูลา และระยะบลาสโตซิสต์ และที่ 144-168 ชั่วโมงพบตัวอ่อนระยะบลาสโตซิสต์ (รูปที่ 8) ตัวอ่อนระยะบลาสโตซิสต์ที่ได้จากการทำ parthenogenetic ทุกใบจะขยายขนาดเพิ่มมากขึ้นจะสังเกตได้จากเปลือกไข่มีขนาดบางลงและไข่ขยายใหญ่ขึ้น แต่ตัวอ่อนระยะบลาสโตซิสต์ที่ได้จากวิธีนี้จะไม่สามารถเกิดการ Hatching ออกมานอกเปลือกไข่ได้

ตารางที่ 2. การเจริญในหลอดแก้วของตัวอ่อน Parthenogenetic จากการกระตุ้นด้วย 7% เอทานอล + CHX-CD และ CHX-CD

กลุ่ม	การแบ่งตัว (%)	8-เซลล์ (%)	มอรูลา (%)	บลาสโตซิสต์ (%)
7% เอทานอล + CHX-CD	56/62 (90.3)	45/62 (72.6)	37/62 (59.7)	8/62 (12.9)
CHX-CD	57/67 (85.0)	31/67 (46.3)	29/67 (43.3)	11/67 (16.4)



รูปที่ 8. ตัวอ่อน Parthenogenetic a). ระยะ 8-เซลล์ และ 16 เซลล์ b). มอรูลา
c). เออร์ริบลาสโตซิสต์ และ d). บลาสโตซิสต์

3.5. ผลการผลิตตัวอ่อนแมวโคลนนิ่ง

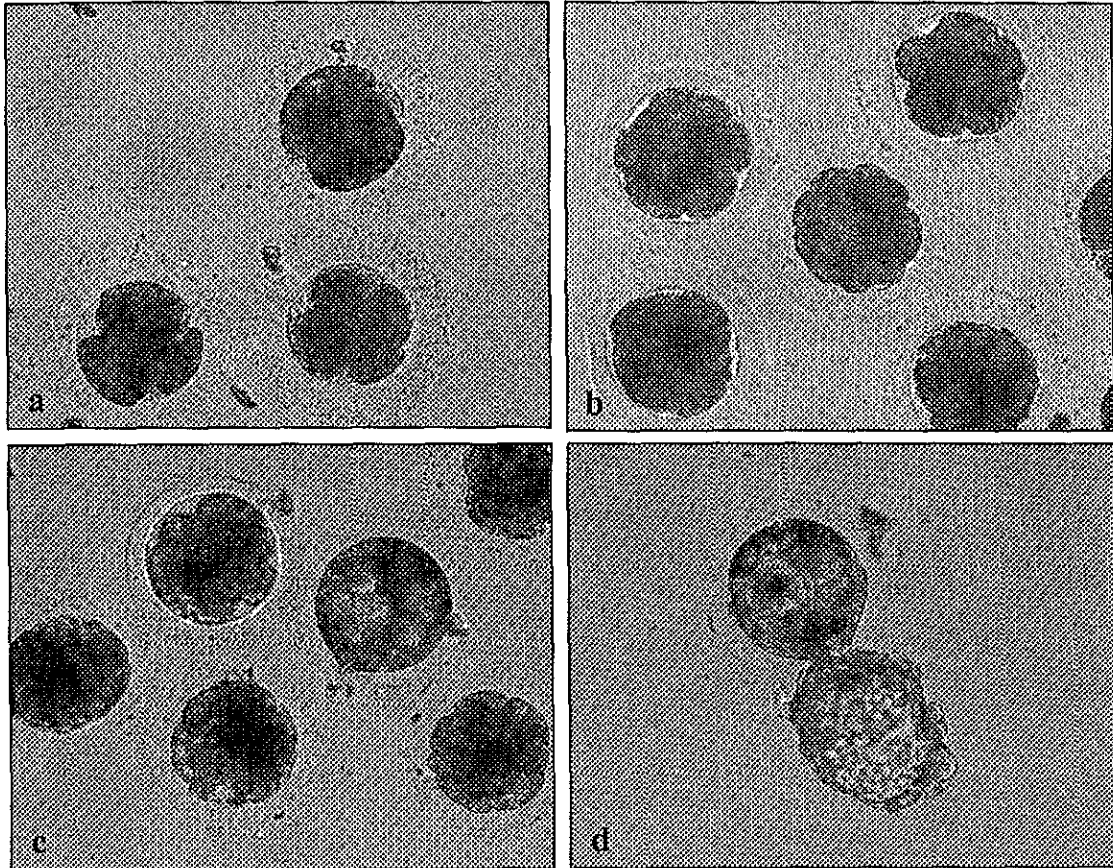
หลังจากทำการเชื่อมเซลล์ต้นแบบเข้ากับไข่และตรวจสอบการเชื่อมติดแล้วพบว่าไม่มีความแตกต่างของการเชื่อมติดระหว่างเซลล์ต้นแบบทั้งสองชนิด คือเซลล์ใบหุ้มมีการเชื่อมติด 63.3% (119/188) และเซลล์แกรนูโลซามีการเชื่อมติด 66.1% (127/192) นำเฉพาะไข่ใบที่เชื่อมติดกับเซลล์ต้นแบบอย่างสมบูรณ์มาแยกออกเป็นสองกลุ่ม โดยกลุ่มแรกนำไปกระตุ้นให้ไข่แบ่งตัวด้วย

7% เอทานอล + CHX-CD และกลุ่มที่สองกระตุ้นด้วย CHX-CD การเจริญสู่ระยะ 8 เซลล์ของตัวอ่อนจากทั้งสองกลุ่มเซลล์ต้นแบบไม่แตกต่างกัน แต่การเจริญของตัวอ่อนแมวสู่ระยะมอรูตาของทั้งสองกลุ่มเซลล์ต้นแบบที่ถูกกระตุ้นด้วย 7% เอทานอล + CHX-CD สูงกว่ากลุ่มที่กระตุ้นด้วย CHX-CD (40.0 และ 45.3% ต่อ 29.3 และ 33.3%) แต่อย่างไรก็ตามไม่มีความแตกต่างทางสถิติ นอกจากนี้ยังพบว่าการเจริญสู่ระยะบลาสโตซิสต์ของตัวอ่อนแมวที่ใช้เซลล์ใบหูและเซลล์แกรนูโลซาเป็นเซลล์ต้นแบบและกระตุ้นด้วย 7% เอทานอล + CHX-CD มีสูงกว่ากระตุ้นด้วย CHX-CD เพียงอย่างเดียว (11.4 และ 12.5% ต่อ 5.2 และ 6.3%) (ตารางที่ 3) พบว่าตัวอ่อนแมวโคลนนิ่งจะเจริญสู่ระยะ 8-16 เซลล์ ที่ 96 ชั่วโมง เจริญสู่ระยะ 16 เซลล์และมอรูตา ที่ 120 ชั่วโมง เจริญสู่ระยะมอรูตาและบลาสโตซิสต์ และ ที่ 144-168 ชั่วโมง เจริญสู่ระยะบลาสโตซิสต์ และ Hatching บลาสโตซิสต์ ตัวอ่อนแมวระยะต่างๆ แสดงในรูปที่ 9

ตารางที่ 3 การเจริญของตัวอ่อนแมว โคกลนึ่งโดยใช้เซลล์ไฟโบรบลาสต์จากไขกระดูกและเซลล์แกรนูโลซิติสเป็นเซลล์ต้นแบบและกระตุ้นด้วย 7% เอทานอล + CHX-CD และ CHX-CD.

เซลล์ต้นแบบ	จำนวนไปเข้าเชื่อมเซลล์ (%)	อัตราเชื่อมติด (%)	กลุ่มกระตุ้น	จำนวนเข้าเลี้ยง	อัตราการแบ่งตัว (%)	จำนวน (%)		อัตราการรอดชีวิต
						8-เซลล์	มอรูตา	
EFC	188	119 (63.3%)	7% เอทานอล + CHX-CD	60	51 (85.0)	33 (55.0)	24 (40.0)	7 (11.7)
			CHX-CD	58	49 (84.5)	27 (46.6)	17 (29.3)	3 (5.2)
			7% เอทานอล + CHX-CD	64	55 (85.9)	43 (67.2)	29 (45.3)	8 (12.5)
GC	192	127 (66.1%)	CHX-CD	63	51 (80.9)	29 (46.0)	21 (33.3)	4 (6.3)

EFC = เซลล์ไฟโบรบลาสต์จากไขกระดูก, GC = เซลล์แกรนูโลซิติส



รูปที่ 9. การเจริญของตัวอ่อนแมวที่เลี้ยงในหลอดแก้วระยะต่างๆ

a) 2-4 เซลล์ (30 ชั่วโมง)

b) 8-เซลล์ - มอรูลา (วันที่ 2-3)

c) มอรูลา - เอ็มบริโบลาสโตซิส (วันที่ 4-5)

d) แอสซิงบลาสโตซิส (วันที่ 7)

3.6 การเลี้ยงไข่ให้ลูกในหลอดแก้วที่เวลา 24 และ 28 ชั่วโมง

จากการทดลองเปรียบเทียบเวลาเลี้ยงไข่ในน้ำยาเลี้ยงไข่ให้ลูกในหลอดแก้วนาน 24 และ 28 ชั่วโมง แล้วนำไปทำโคลนนิ่ง พบว่าอัตราการสุกของไข่เพิ่มขึ้นเมื่อเลี้ยงนานขึ้น 212/330 (64.3%) และ 146/211 (69.2%) อัตราการแบ่งตัวใกล้เคียงกัน 51/60 (85.0%) และ 60/69 (86.9%) แต่ อัตราการเจริญสู่ระยะมอรูลา 24/51 (47.0) และ 22/60 (36.7%) และบลาสโตซิสต์ 7/51 (13.7%) และ 5/60 (8.3%) (ตารางที่ 5)

ตารางที่ 5 แสดงอัตราการเจริญของตัวอ่อนแมวโคลนนิ่งที่เลี้ยงในหลอดแก้ว ที่ใช้เวลาเลี้ยงไข่ให้ลูกในหลอดแก้ว นาน 24 และ 28 ชั่วโมง

เวลาเลี้ยงไข่	ไข่สุก (%)	เชื่อมติดสำเร็จ (%)	เข้าเลี้ยง	การแบ่งตัว (%)	จำนวน (%) ตัวอ่อนเจริญสู่ระยะ		
					8-เซลล์	มอรูลา	บลาสโตซิสต์
24 ชม.	212/330 (64.2%)	119/188 (63.3%)	60	51/60 (85.0)	33/60 (55.0)	24 /51 (47.1)	7/51 (13.7)
28 ชม.	146/211 (69.2%)	69/110 (62.7%)	69	60/69 (86.9%)	44/69 (63.8%)	22 /60 (36.7%)	5/60 (8.3)

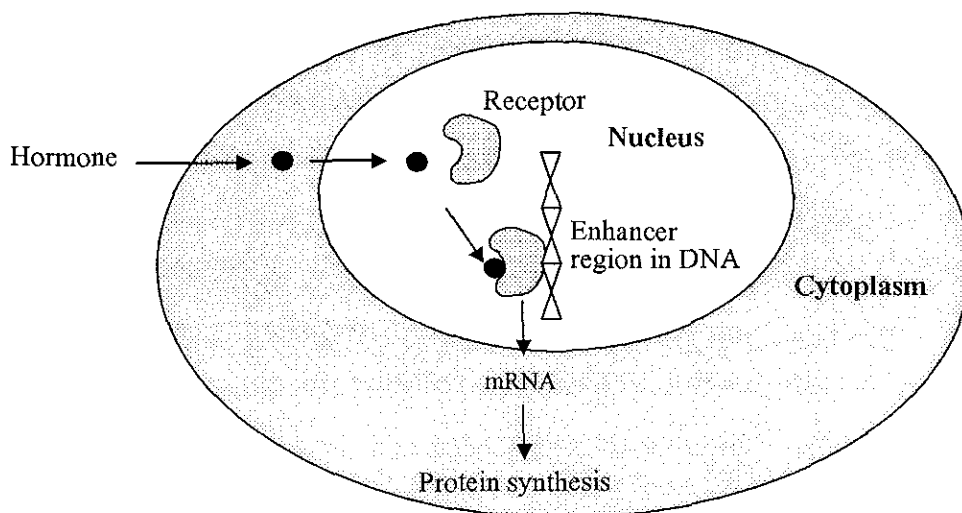
บทที่ 4

วิจารณ์และสรุปผลการทดลอง

(Discussion and Conclusion)

การใช้ฮอร์โมนเช่น eCG หรือ hCG กระตุ้นให้เกิดการเจริญของไข่และกระตุ้นให้เกิดการตกไข่ในสัตว์ เช่น ในวัว (Boland และคณะ, 1991), ถึง (Wolf และคณะ, 1990), กระจ่าง (Maurer และคณะ, 1968) และหนู (Edwards และ Fowler, 1960) เป็นต้น สำหรับแมว การใช้ฮอร์โมนเพื่อกระตุ้นไข่และรังไข่มีรายงานในการทำ IVF (Goodrowe และคณะ, 1988; Johnston และคณะ, 1991; Donohue และคณะ, 1992; Swanson และคณะ, 1996) และทำผสมเทียม (Howard และคณะ, 1992) เช่นกัน

จากผลการทดลองพบว่าไข่จากแมวที่ถูกกระตุ้นด้วยฮอร์โมนมีอัตราการสุกในหลอดแก้วสูงกว่าไข่ที่ได้จากกลุ่มควบคุม ซึ่งอาจเป็นเพราะความแตกต่างของระดับฮอร์โมนโกนาโดโทรปินในกระแสเลือดไม่เท่ากัน จากการทดลองของ Coffee (1998) พบว่าฮอร์โมน eCG มีส่วนสำคัญในการสุกของไข่ โดยการทำหน้าที่เป็น Primary messenger ส่งสัญญาณไปตามเซลล์ต่างๆ และเข้าจับกับ Receptor ที่ Transcription Factor จากนั้น Hormone-Receptor complex จะทำการส่งสัญญาณเพื่อกระตุ้นให้เกิดการทรานสคริปชันให้ได้ mRNA มากขึ้น (รูปที่ 10) และจากรายงานของ Dale (1989) พบว่าปริมาณของ mRNA ที่เพิ่มมากขึ้นจะเป็นตัวกระตุ้นให้ไข่สุกมากขึ้น ดังนั้นความแตกต่างของระดับฮอร์โมนโกนาโดโทรปินในกระแสเลือดจึงมีผลต่ออัตราการสุกของไข่ได้



รูปที่ 10 แสดงกลไกการกระตุ้นให้มีการสร้าง mRNA โดยการกระตุ้นด้วยฮอร์โมน eCG

เนื่องจากการทดลองนี้ใช้วิธีการวางยาและยาสลบชนิดเดียวกับคลินิกสัตว์แพทย์ที่นำไข่มาใช้ในการทดลองเพื่อเป็นกลุ่มควบคุม ดังนั้นยาสลบจึงไม่น่าจะมีผลกระทบต่อผลการทดลอง

สำหรับการทำโคลนนิ่ง เมื่อได้ไข่สุกแล้วต้องนำไข่สุกมาดูดนิวเคลียสทิ้งก่อนนำไปใช้โคลนนิ่ง การดูดนิวเคลียสออกสามารถทำได้ 2 วิธี วิธีแรกคือ นำไข่ที่สุกแล้วใส่ลงในน้ำยาที่มีส่วนผสมของ CB และ Hoechst 33342 จากนั้นทำการดูดนิวเคลียสของไข่ออกด้วย Aspiration pipette แล้วส่องส่วนที่ดูดได้ทันทีด้วยแสง UV เพื่อตรวจสอบความสำเร็จ (Wilmut และคณะ, 1997; Cibelli และคณะ, 1998, Baguisi และคณะ, 1999) ไข่ที่ถูกดูดนิวเคลียสออกทั้งหมดเท่านั้นจึงถูกนำมาใช้ในการโคลนนิ่งขั้นตอนต่อไป วิธีที่สองคือ นำไข่ที่สุกแล้วใส่ลงในน้ำยาที่มีส่วนผสมของ CB แล้วตัดเปลือกไข่บริเวณเหนือ first polar body ให้ขาดออกด้วยปิเปตแก้ว แล้วกดไข่ให้ first polar body และไซโทพลาสซึมได้ first polar body ทะลักออกมาออกไข่ประมาณ 10% (Parnpai และคณะ, 1999; Kurosaka และคณะ, 2002) ทำอย่างนี้จนครบทุกใบ แล้วจึงนำเฉพาะส่วนที่ถูกกดออกมาแช่ในน้ำยาที่มีส่วนผสมของ Hoechst 33342 แล้วทำการตรวจสอบเฉพาะส่วนที่ถูกกดออกมาภายใต้แสง UV และเนื่องจาก Hoechst 33342 เป็นสารที่มีคุณสมบัติสามารถเข้าแทรกในระหว่างสาย DNA จึงอาจเป็นอันตรายต่อการเจริญของตัวอ่อน ดังนั้นการทดลองนี้จึงเลือกใช้การดูดนิวเคลียสออกด้วยวิธีที่สอง เพราะไม่ต้องการให้ไข่สัมผัสกับ Hoechst 33342

เซลล์ต้นแบบควรเลือกเซลล์ที่มีขนาด 14-16 μm เพราะเป็นเซลล์ที่อยู่ในระยะ G0/G1 ซึ่งเหมาะสำหรับใช้เป็นเซลล์ต้นแบบ ตำแหน่งการวางเซลล์ต้นแบบเป็นสิ่งที่สำคัญมากต่อการเชื่อมติดของเซลล์ต้นแบบและไข่ ตำแหน่งที่เหมาะสมคือวางให้เซลล์ต้นแบบสัมผัสทั้งเปลือกไข่และไซโทพลาสซึม เพื่อเพิ่มอัตราความสำเร็จในการเชื่อมเซลล์ การเชื่อมเซลล์สามารถทำได้สองวิธี คือ ใช้ Fusion chamber ซึ่งนิยมใช้สำหรับโคลนนิ่งสัตว์หลายชนิด เช่น แกะ (Wilmut และคณะ, 1997) โค (Cibelli และคณะ, 1998; Kato และคณะ, 1998) แพะ (Baguisi และคณะ, 1999) หมู (Polejaeva และคณะ, 2000) แมว (Fahrudin และคณะ, 2001; Du และคณะ, 2002; Gomes และคณะ, 2002; และ Hwang และคณะ, 2000) หรือ Fusion electrode (Parnpai และคณะ, 1999; 2000; 2001; Miyoshi และคณะ, 2001) ข้อดีของการเชื่อมเซลล์ด้วย Fusion electrode คือสามารถจัดตำแหน่งเซลล์ต้นแบบให้เหมาะสมก่อนทำการจ่ายกระแสไฟฟ้าได้ ทำให้ความสำเร็จในการเชื่อมเซลล์มีสูงขึ้นกว่าการใช้ Fusion chamber (Miyoshi และคณะ, 2001) ดังนั้นในการทดลองนี้จึงเลือกใช้ Fusion electrode ในการผลิตตัวอ่อนแมวโคลนนิ่ง

จากการทดลองพบว่าตัวอ่อนแมวโคลนนิ่งสามารถเจริญสู่ระยะบลาสโตซิสต์ได้ในวันที่ 6-7 ของการเลี้ยงในหลอดแก้ว และเจริญสู่ระยะแฮชชิงบลาสโตซิสต์ ในวันที่ 7 แต่ตัวอ่อน

Parthenogenetic ไม่สามารถเจริญจนถึงระยะแฮซซิงบลาสโตซิสได้ เนื่องจากการแฮซซิงของตัวอ่อนต้องอาศัยการแสดงออกของยีนจากทั้งของพ่อและแม่ แต่ตัวอ่อน Parthenogenetic มีเฉพาะสารพันธุกรรมที่ได้จากแม่เท่านั้น จึงไม่สามารถเจริญจนถึงระยะแฮซซิงบลาสโตซิสได้

จากการเปรียบเทียบอัตราการเลี้ยงไข่ให้สุกในหลอดแก้วเป็นเวลา 24 ชั่วโมง และ 28 ชั่วโมงพบว่าอัตราการสุกของไข่ที่เวลา 28 ชั่วโมงจะสูงกว่า 24 ชั่วโมง และอัตราการแบ่งตัวและการเจริญสู่ระยะต่างๆของตัวอ่อนทั้งสองกลุ่มใกล้เคียงกัน แต่การเจริญสู่ระยะบลาสโตซิสของตัวอ่อนกลุ่มที่เลี้ยงนาน 28 ชั่วโมง ต่ำกว่ากลุ่มที่เลี้ยง 24 ชั่วโมง ซึ่งผลการทดลองนี้สอดคล้องกับการทดลองของ Skrzyszowska และคณะ (2002) ที่ได้ทำการทดลองเปรียบเทียบเวลาเลี้ยงไข่ให้สุกในหลอดแก้วนาน 24 ชั่วโมง 35 ชั่วโมง และ 43 ชั่วโมง จากการทดลองพบว่าอัตราการเจริญสู่ระยะบลาสโตซิสจะลดลงตามสัดส่วนของเวลาที่เลี้ยงไข่ในหลอดแก้ว นั่นคือเลี้ยงในน้ำยาเลี้ยงไข่ให้สุกในหลอดแก้วนาน 43 ชั่วโมง จะได้ตัวอ่อนระยะบลาสโตซิสต่ำกว่าเลี้ยงเพียง 24 ชั่วโมง

สาเหตุที่การเลี้ยงตัวอ่อนที่ 28 ชั่วโมงมีอัตราการเจริญสู่ระยะบลาสโตซิสต่ำกว่าการเลี้ยงที่ 24 ชั่วโมง ยังไม่มีรายงานแน่ชัด โดยเฉพาะการทดลองในเชิงระดับโมเลกุล (Molecular) จากการทดลองของ Sato และคณะ (1994) พบว่าการเลี้ยงตัวอ่อนเป็นเวลานานจะทำให้มีการสังเคราะห์ cAMP เพิ่มมากขึ้นและ cAMP จะยับยั้งการทำงานของ MPF ทำให้ต่ำลง เมื่อระดับ MPF ของไข่ต่ำลงหลังจากไข่ผ่านระยะ MII ไปแล้ว จะเรียกว่า ไข่แก่ (Aged oocyte) ซึ่งมีผลต่อการเจริญของตัวอ่อนระยะหลังการแบ่งตัว และในการทดลองของ Kikuchi และคณะ ในปี 2000 ที่ได้ทำการทดลองในไข่หนู พบว่าปัจจัยหนึ่งที่เกี่ยวข้องกับการแก่ของไข่และมีผลต่ออัตราการเจริญของตัวอ่อนก็คือระดับของ Maturation/Meiosis/Meitosis Promoting factor (MPF) ที่จะลดลงเมื่อไข่แก่ ซึ่งอาจมีผลต่อการเจริญของตัวอ่อนสู่ระยะต่างๆ

ในการทดลองนี้ได้เปรียบเทียบการเจริญเติบโตของตัวอ่อนโคลนนิ่งที่ได้จากเซลล์ต้นแบบต่างชนิดกัน ผลที่ได้พบว่าการเจริญของตัวอ่อนไม่มีความแตกต่างกัน ซึ่งสอดคล้องกับการทดลองของ Skrzyszowska และคณะ (2002) ที่เปรียบเทียบเซลล์ควมูตัสกับเซลล์ผิวหนังลูกอ่อน และการทดลองของ Farudin และคณะ (2001) ทำการทดลองโดยใช้เซลล์ผิวหนังตัวอ่อนและเซลล์เยื่อหุ้ม นำไข่เป็นเซลล์ต้นแบบ

จากการทดลองนี้สามารถสรุปได้ว่า

1. ไข่ที่ได้จากแมวเพศเมียที่ถูกกระตุ้นด้วยฮอร์โมน eCG จำนวน 200 iu. จะมีอัตราการสุกหลังจากเลี้ยงในหลอดแก้วนาน 24 ชั่วโมงสูงกว่ากลุ่มที่ไม่กระตุ้นฮอร์โมน
2. ความสามารถในการเจริญของตัวอ่อนแมวโคลนนิ่งจากเซลล์ต้นแบบทั้งสองชนิดไม่มีความแตกต่างกัน
3. วิธีการกระตุ้นสองวิธีที่ใช้ในการทดลองให้ผลการแบ่งตัวของตัวอ่อนแมวโคลนนิ่งไม่แตกต่างกัน
4. ตัวอ่อน Parthenogenetic สามารถเจริญได้สูงสุดถึงระยะเฮกซ์แพนบลาสโตซิสเท่านั้น
5. การเลี้ยงไข่ให้สุกในหลอดแก้วนาน 28 ชั่วโมงมีอัตราการสุกสูงกว่าไข่ที่เลี้ยง 24 ชั่วโมง แต่การเจริญสู่ระยะบลาสโตซิสต่ำกว่า

เอกสารอ้างอิง

เอกสารอ้างอิง

- Baguisi, A., Behboodi, E., Melican, D.T., Pollock, J.S., Destrempe, M.M., Cammuso, C., Williams, J.L., Nims, S.D., Porter, C.A., Midura, P., Palacios, M.J., Ayres, S.L., Denniston, R.S., Hayes, M.L., Ziomek, C.A., Meade, H.M., Godke, R.A., Gavin, W.G., Overstrom, E.W., and Echelard, Y. 1999. Production of goats by somatic cell nuclear transfer. **Nat. Biotechnol.** 17: 456-461.
- Bethhauser, J., Forsberg, E., Augenstein, M., Childs, L., Eilertsen, K., Enos, J., Forsythe, T., Golueke, P., Jurgella, G., Koppang, R., Lesmeister, T., Mallon, K., Mell, G., Misica, P., Pace, M., Pfister-Genskow, M., Strelchenko, N., Voelker, G., Watt, S., Thompson, S., and Bishop, M. 2000. Production of cloned pigs from *in vitro* systems. **Nat. Biotechnol.** 18: 1055-1059.
- Boland, M.P., Goulding, D., and Roche, J.F. 1991. Alternative gonadotropins for superovulation in cattle. **Theriogenology** 35: 5-17.
- Bondioli, K.R., Westhusin, M.E., and Looney, C.R. 1990. Production of identical bovine offspring by nuclear transfer. **Theriogenology** 33: 165-174.
- Briggs, R., and King, T.J. 1952. Transplantation of living nuclei from blastula cell into enucleated frogs' eggs. **Proc. Natl. Acad. Sci. USA.** 38: 455-463.
- Cibelli, J.B., Stice, S.L., Golueke, P.J., Kane, J.J., Jerry, J., Blackwell, C., Ponce de Leon, F.A., and Robl, J.M. 1998. Cloned transgenic calves produced from nonquiescent fetal fibroblasts. **Science** 280: 1256-1258.
- Coffee, C.J. 1998. **Metabolism.** Regulation of metabolism. Connecticut: Fence Creek.
- Dale, B. 1989. **Fertilization in Animals.** Translated by Pinkasiri, K. Bangkok: Kurusapa Ladprao.
- Donoghue, A.M., Johnston, L.A., Munson, L., Brown, J.L., and Wildt, D.E. 1992. Influence of gonadotropin treatment on follicular maturation, *in vitro* fertilization, circulating steroid concentrations, and subsequent luteal function in the domestic cat. **Biol. Reprod.** 46: 972-980.

- Du, F.L., Jiang, S., Tian, X.C., Avner, D., and Yang, X. 2002. Parthenogenetic activation and somatic nuclear transfer in domestic cats using *in vitro* matured oocytes. **Theriogenology** 57: 409.
- Edwards, R.G., and Fowler, R.E. 1960. Superovulation treatment of adult mice: their subsequent natural fertility and response to further treatment. **J. Endocrinol.** 21: 147-154.
- Fahrudin, M., Otoi, T., Murakami, M., Karja, N.W.K., Ooka, A., and Suzuki, T. 2001. The effects of culture medium on *in vitro* development of domestic cat embryos reconstructed by nuclear transplantation. **Theriogenology** 55: 268.
- Galli, C., Lagutina, I., Crotti, G., Colleoni, S., Turini, P., Ponderato, N., Duchi, R., and Lazzari, G. 2003. Pregnancy: a cloned horse born to its dam twin. **Nature.** 425(6959): 680.
- Gomez, M.C., Pope, C.E., Harris, R.F., King, A., and Dresser, B.L. 2002. *In vitro* development of enucleated domestic cat oocytes reconstructed by transfer of cumulus cells at different electrical currents. **Theriogenology** 57: 415.
- Goodrowe, K.L., Howard, L.G., and Wildt, D.E. 1988. Comparison of embryo overy, oestradiol-17 β and progesterone profiles in domestic cats (*Felis catus*) at natural or induced oestrus. **J. Reprod. Fertil.** 82: 553-561.
- Howard, J.G., Barone, M.A., Donoghue, A.M., and Wildt, D.E. 1992. The effect of pre-ovulatory anesthesia on ovulation in laparoscopically-inseminated domestic cats. **J. Reprod. Fertil.** 96: 175-186.
- Hwang, W., Kim, K., Kim, G., Jin, Y., Kim, Y., Chung, H., Yoon, T., Han, C., Eo, Y., and Lee, B. 2000. Interspecies somatic cell nuclear transfer for the production of endangered Korean tiger (*Panthera altaica*). **Theriogenology** 53: 271.
- Illmensee, K., and Hoppe, P.C. 1981. Nuclear transplantation in *Mus musculus*: developmental potential of nuclei from preimplantation embryos. **Cell** 23: 9-18.
- Johnston, L.A., Donoghue, A.M., O'Brien, S.J., and Wildt, D.E. 1991. Culture medium and protein supplementation influence *in vitro* fertilization and embryo development in the domestic cat. **J. Exp. Zoo.** 257: 350-359.

- Johnston, L.A., O'Brien, S.J., and Wildt, .E. 1989. *In vitro* maturation and fertilization of domestic cat follicular oocytes. **Gamete Res.** 24: 343-356.
- Kato, Y., Tani, T., Sotomaru, Y., Kurokawa, K., Kato, J., Doguchi, H., Yasue, H., and Tsunoda, Y. 1998. Eight calves cloned from somatic cells of a single adult. **Science** 282: 2095-2098.
- Kato, Y., Tani, T., and Tsunoda, Y. 2000. Cloning of calves from various somatic cell types of male and female adult, newborn and fetal cows. **J Reprod Fertil.** 120:231-7.
- Kikuchi, K., Naito, K., Naguchi, J,m Shimada, A., Kaneko, H., Yanashita, M., Aoki, F., Tojo., H and Toyoda, Y. 2000. Maturation/M-phase promoting factor: A regulation of aging in porcine oocyte. **Biol. Reprod.** 63: 715-722.
- Kurosaka, S., Nagao, Y., Minami, N., Yamada, M., and Imai, H. 2002. Dependence of DNA synthesis and in vitro development of bovine nuclear transfer embryos on the stage of the cycle of donor cells and recipient cytoplasts. **Biol. Reprod.** 67: 643-647.
- Li, G.P., Chen, D.Y., Lian, L., Han, Z.M., Zhu, Z.Y., and Seidel, G.E. Jr. 2002. Rabbit cloning: improved fusion rates using cytochalasin B in the fusion buffer. **Mol Reprod Dev.** 61:187-91.
- Lorthongpanich, C.,Laowtammathron, C., Muenthaisong, S., and Parnpai, R. 2004. *In vitro* development of enucleated domestic cat oocyte reconstructed with skin fibroblasts of domestic and leopard cats. **Reprod. Fertil Dev.** 149.
- McGrath, J., and Solter, D. 1983. Nuclear transplantation in the mouse embryo by microsurgery and cell fusion. **Science** 220: 1300-1302.
- Meng, L., Ely, J.J., Stouffer, R.L., and Wolf, D.P. 1997. Rhesus monkeys produced by nuclear transfer. **Biol. Reprod.** 57: 454-459.
- Maurer, R.R., Hunt, W.L., and Foote, R.H. 1968. Repeated superovulation following administration of exogenous gonadotropins in Dutch-belted rabbits. **J. Reprod. Fertil.** 15: 93-103.
- Miyoshi, K., Gibbons, J., Rzucidlo, S., Arat, S., and Stice, S.L. 2001. Effective fusion method for reconstruction of bovine embryos from granulosa cells and enucleated oocytes. **Theriogenology** 55: 280.

- Onishi, A., Iwamoto, M., Akita, T., Mikawa, S., Takeda, K., Awata, T., Hanada, H., and Perry, A.C. 2000. Pig cloning by microinjection of fetal fibroblast nuclei. **Science** 289: 118-1190.
- Parnpai, R., Tasripoo, K. and Kamonpatana, M. 1999. Development of cloned swamp buffalo embryos derived from fetal fibroblasts: comparison *in vitro* cultured with or without buffalo and cattle epithelial cells. **Buffalo J.** 15: 371-384.
- Parnpai, R., Tasripoo, K., and Kamonpatana, M. 2000. Developmental potential of cloned bovine embryos derived from quiescent and non-quiescent adult ear fibroblasts after different activation treatments. **Theriogenology** 53: 239.
- Parnpai, R., Tasripoo, K., and Kamonpatana, M. 2001. Developmental potential of vitrified cloned swamp buffalo morulae derived from granulosa cells. **Theriogenology** 55: 284.
- Polejaeva, I.A., Chen, S.H., Vaught, T.D., Page, R.L., Mullins, J., Ball, S., Dai, Y., Boone, J., Walker, S., Ayares, D.L., Colman, A., and Campbell, K.H. 2000. Cloned pigs produced by nuclear transfer from adult somatic cells. **Nature** 407: 86-90.
- Prather, R.S., Barnes, F.L., Sims, M.M., Robl, J.M., Eyestone, W.H., and First, N.L. 1987. Nuclear transfer in the bovine embryo: assessment of donor nuclei and recipient oocyte. **Biol. Reprod.** 37: 859-866.
- Sato, E., Inoue, M., Takahashi, Y., and Toyoda, Y. 1994. Glycosaminoglycans prevent induction of fragmentation of porcine stimulated by dibutyryl cAMP in culture. **Cell Struct Funct.** 19: 29-36.
- Shin, T., Kraemer, D., Pryor, J., Liu, L., Rugila, J., Howe, L., Buck, S., Murphy, K., Lyons, L., and Westhusin, M. 2002. A cat cloned by nuclear transplantation. **Nature** 415: 859.
- Skrzyszowska, M., Katska, L., Rynska, B., Kania, G., Smorag, Z., and Pienkowski, M. 2002. *In vitro* developmental competence of domestic cat embryos after somatic cloning: a preliminary report. **Theriogenology.** 58: 1615-1621.
- Smith, L.C., and Wilmut, I. 1989. Influence of nuclear and cytoplasmic activity on the development *in vivo* of sheep embryos after nuclear transplantation. **Biol. Reprod.** 40: 1027-1035.
- Stice, S.L., and Robl, J.M. 1989. Nuclear reprogramming in nuclear transplant rabbit embryos. **Biol. Reprod.** 39: 657-664.

- Swanson, W.F., Roth, T.L., and Godke, R.A. 1996. Persistence of the developmental block of *in vitro* fertilized domestic cat embryos to temporal variation in culture conditions. **Mol. Reprod. Dev.** 43: 298-305.
- Wakayama, T., Perry, A.C., Zuccotti, M., Johnson, K.R., and Yanagimachi, R. 1998. Full term development of mice from enucleated oocytes injected with cumulus cell nuclei. **Nature** 394: 369-374.
- Wakayama, T., and Yanagimachi, R. 2001. Mouse cloning with nucleus donor cells of different age and type. **Mol. Reprod. Dev.** 58: 367-383.
- Wilmut, I., Schnieke, A.E., McWhir, J., Kind, A.J., and Campbell, K.H. 1997. Viable offspring derived from fetal and adult mammalian cells. **Nature** 385: 810-813.
- Willadsen, S.M. 1986. Nuclear transplantation in sheep embryos. **Nature** 320: 63-65.
- Wolf, D.P., Thomson, J.A., Zelinski-Wooten, M.B., and Stouffer, R.L. 1990. *In vitro* fertilization-embryo transfer in nonhuman primates. The technique and its applications. **Mol. Reprod. Dev.** 27: 261-280.
- Zhou, Qi., Renard, J.P., Friec, G.L., Brochard, V., Beaujean, N., Cherifi, Y., Fraichard, A., and Cozzi, J. 2003. Generation of Fertile Cloned Rats by Regulating Oocyte Activation. **Science**. 302: 1179.